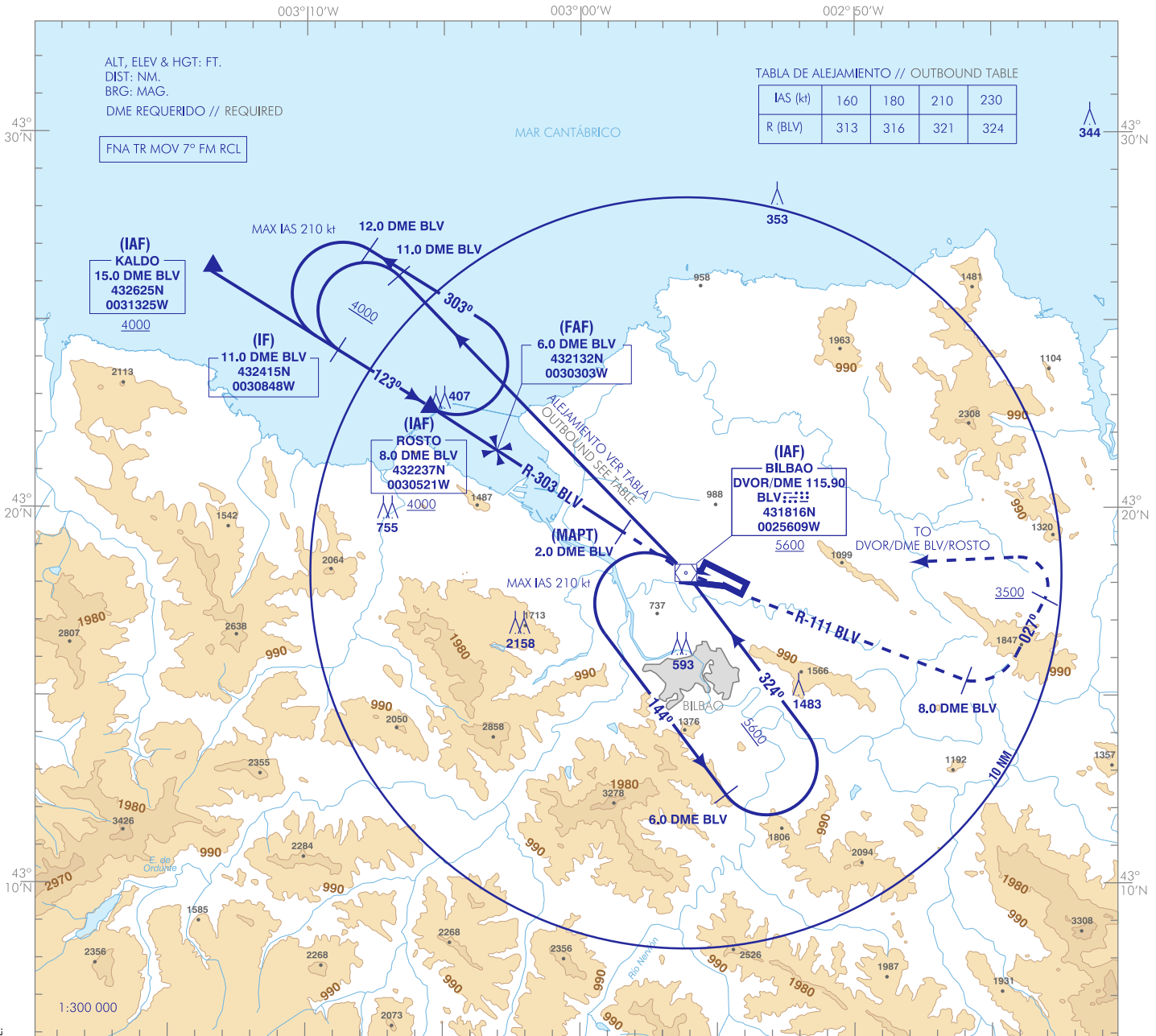


CARTA DE APROXIMACIÓN
POR INSTRUMENTOS-OACI

ELEV AD
136
VAR 0° (2020)

APP 127.450 MHz
TWR 118.500 MHz
GMC 121.705 C
ATIS 118.830 C

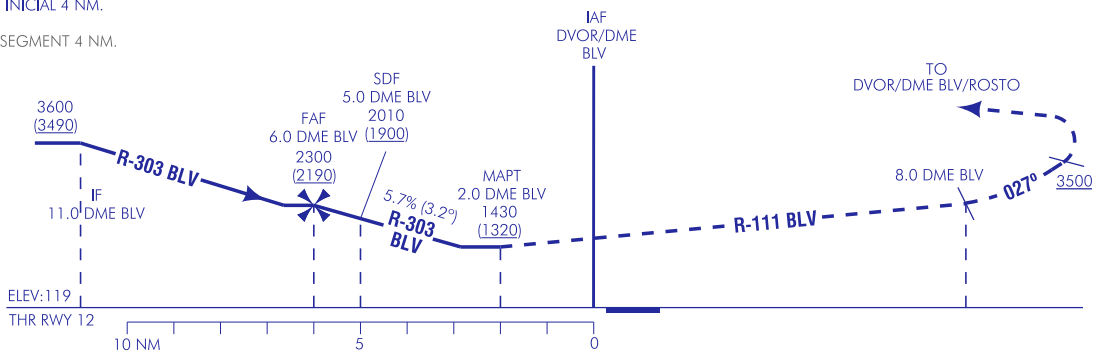
BILBAO
VOR
RWY 12



FRUSTRADA: SUBIR DIRECTO A DVOR/DME BLV. PROCEDER POR R-111 BLV HASTA 8.0 DME BLV. VIRAR A LA IZQUIERDA A RUMBO MAGNÉTICO 027° HASTA ALCANZAR 3500. VIRAR A LA IZQUIERDA DIRECTO A DVOR/DME BLV, DIRECTO A ROSTO SUBIENDO A 4000 PARA INTEGRARSE A LA ESPERA.

MISSED APCH: CLIMB DIRECT TO DVOR/DME BLV. PROCEED ON R-111 BLV UP TO 8.0 DME BLV. TURN LEFT TO MAGNETIC HEADING 027° UP TO REACH 3500. TURN LEFT DIRECT TO DVOR/DME BLV, DIRECT TO ROSTO CLIMBING TO 4000 TO JOIN THE HOLDING.

NOTA:
- TRAMO INICIAL 4 NM.
NOTE:
- INITIAL SEGMENT 4 NM.

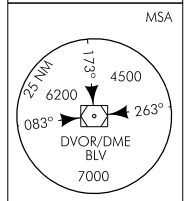
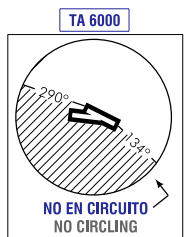


HGT REF ELEV THR RWY 12

OCA/H	A	B	C	D
2.5%	RESTRINGIDA A OCA/H DE CIRCUITO POR VULNERACION DE VSS. RESTRICTED TO CIRCUIT OCA/H DUE TO VSS VULNERATION			
5%				
En circuito (H) sobre Circling (H) over	136	1710 (1580)	1970 (1840)	2110 (1980)

GS	kt	80	100	120	140	160	180
FAF-THR:	min:s						
FAF-MAPT:	min:s	NO AUTORIZADO EL CRONOMETRAJE // TIMING NOT AUTHORIZED					
ROD: 5.7%	ft/min	458	572	687	801	916	1030

ALT/HGT DME (BLV) FNA										
13	12	11	10	9	8	7	6	5	4	3
								2010 (1890)		



CAMBIOS: CUADROS OCA/H Y ALT/HGT, TABLA DE ALEJAMIENTO, OBSTÁCULOS, CAMBIO EDITORIAL. CHANGES: OCA/H AND ALT/HGT BOXES, OUTBOUND TABLE, EDITORIAL CHANGE.

BILBAO AD

REQUISITOS DE LA BASE DE DATOS AERONÁUTICA
 AERONAUTICAL DATABASE REQUIREMENTS

PROCEDIMIENTOS DE APROXIMACIÓN POR INSTRUMENTOS // INSTRUMENT APPROACH PROCEDURES

VOR RWY 12

PUNTO POINT	LAT	LONG	AZIMUT VERDADERO TRUE BEARING	DISTANCIA DME DME DISTANCE (NM)
DVOR/DME BLV (IAF)	431815.8N	0025609.2W	–	–
KALDO (IAF)	432624.7N	0031325.2W	303.00° (BLV)	15.00 DME BLV
ROSTO (IAF)	432236.9N	0030521.1W	303.00° (BLV)	8.00 DME BLV
IF	432414.6N	0030848.5W	303.00° (BLV)	11.00 DME BLV
FAF	432131.7N	0030303.0W	303.00° (BLV)	6.00 DME BLV
MAPT	431921.1N	0025827.0W	303.00° (BLV)	2.00 DME BLV
Aproximación final de no precisión - Pendiente (Ángulo de descenso) // Non-precision final approach - Slope (Descent angle)				5.65% (3.24°)